

This Page Is Inserted by IFW Operations  
and is not a part of the Official Record

## **BEST AVAILABLE IMAGES**

Defective images within this document are accurate representations of the original documents submitted by the applicant.

Defects in the images may include (but are not limited to):

- BLACK BORDERS
- TEXT CUT OFF AT TOP, BOTTOM OR SIDES
- FADED TEXT
- ILLEGIBLE TEXT
- SKEWED/SLANTED IMAGES
- COLORED PHOTOS
- BLACK OR VERY BLACK AND WHITE DARK PHOTOS
- GRAY SCALE DOCUMENTS

**IMAGES ARE BEST AVAILABLE COPY.**

**As rescanning documents *will not* correct images,  
please do not report the images to the  
Image Problem Mailbox.**

RÉPUBLIQUE FRANÇAISE

INSTITUT NATIONAL  
DE LA PROPRIÉTÉ INDUSTRIELLE

PARIS

(11) N° de publication :

**2 432 716**

(A n'utiliser que pour les  
commandes de reproduction).

A1

**DEMANDE  
DE BREVET D'INVENTION**

(21)

**N° 78 23654**

(54)

**Gravitation. Antigravitation et autres propriétés des trois autres ondes électromagnétiques inconnues.**

(51)

**Classification internationale. (Int. Cl 3) G 01 R 33/02.**

(22)

**Date de dépôt ..... 4 août 1978, à 12 h.**

(33)

(32)

(31)

**Priorité revendiquée :**

(41)

**Date de la mise à la disposition du  
public de la demande .....**

**B.O.P.I. — «Listes» n. 9 du 29-2-1980.**

(71)

**Déposant : PERIAT Guy, résidant en France.**

(72)

**Invention de : Guy Periat.**

(73)

**Titulaire : Idem (71)**

(74)

**Mandataire :**

- 1 Les plateaux d'un condensateur sont placés perpendiculairement sur un disque tournant et perpendiculaire au rayon R fig 1. Il apparaît des champs électriques  $\vec{E}$  entre les plateaux du condensateur, chargés de + q et de - q. On fait varier C avec C' en
- 5 parallèle? Lorsque le disque O tourne entraînant le condensateur, la charge électrique d|e| à chaque vecteur  $\vec{E}$  est localisée à l'extrémité des vecteurs électriques  $\vec{E}$  fig 2 et si le disque O était immobile la charge électrique d|e| serait répartie uniformément tout le long des  $\vec{E}$ . Si on inverse les charges du condensateur fig 3 situé sur le disque tournant, la charge d|e| se localise à l'autre extrémité des champs électriques  $\vec{E}$  fig 4.
- 10 Il en est de même pour les vecteurs induction magnétique  $\vec{B}$ . Si le solénoïde est placé sur un disque tournant O fig 5 (l'axe du solénoïde suivant un rayon du disque) les vecteurs induction,
- 15 auront leurs masses magnétiques localisées à l'extrémité des  $\vec{B}$  fig 6 lorsqu'on fait passer un courant. De même si on inverse le sens du courant du solénoïde placé sur un disque tournant O. Les vecteurs induction auront leurs masses magnétiques localisées à l'autre extrémité de  $\vec{B}$  fig 7. C'est comme si les vecteurs  $\vec{E}$  et
- 20  $\vec{B}$  avaient une masse, et la force centrifuge  $f = m\omega^2 r$  jouait sur eux à une extrémité indépendamment de leurs sens.
- Réalisation pratique de l'antigravitation et de la gravitation. On peut représenter le disque tournant sur lequel on trouve un solénoïde et un condensateur fig 8 orientés tous les deux à 45°
- 25 sur la direction d'un rayon fig 9. Le condensateur se trouve à l'intérieur du solénoïde de préférence, il peut se trouver à l'extérieur. Le solénoïde pourra avoir des spires non jointives fig 10 ou jointives (solénoïde ou bobine) Il y a en réalité quatre possibilités d'ondes électromagnétiques suivant le sens de
- 30  $\vec{E}$  et  $\vec{B}$  qui sont ici à angle droit et varient sinusoidalement; on ne représente pas le vecteur propagation. Une seule onde électromagnétique de Maxwell est connue: le 1 de la fig 11 on connaît ses propriétés. Les ondes 2 de la fig 11 sont inconnues il peut lui correspondre à une certaine fréquence des ondes de gravitation, ondes d'antigravitation le 3 ou le 4 de la fig 11 à une
- 35 certaine fréquence. Donnons deux exemples d'antigravitation.
- 1° Exemple fig 12 (intensité I du solénoïde et charge du condensateur +q et -q variables) On obtient les  $\vec{B}$  et les  $\vec{E}$  parallèles au disque tournant et très près: la masse magnétique se localise

- 1 aux  $\vec{B}$ , à l'extrémité la plus loin du centre 0 du disque et pour la charge électrique des  $\vec{E}$  pareil fig 13. Les  $\vec{B}$  et les  $\vec{E}$  s'accrochant sur les points où la force centrifuge est la plus forte et on obtient ainsi les ondes électromagnétiques d'antigravitation
- 5 (fréquence  $N$ ) qui se propagent perpendiculairement au plan du disque d'un côté seulement avec  $\vec{E}$  et  $\vec{B}$  perpendiculaires et sinusoïdaux fréquence  $N$ . Puis  $\vec{E}$  aura une charge répartie uniformément tout le long de  $\vec{B}$ . phénomène identique pour  $m$  de  $\vec{B}$ .
- 2° Exemple fig 14. On forme  $\vec{E}$  et  $\vec{B}$  (les courants sont maintenant
- 10 inversés) ils s'accrochent et on obtient fig 15 les ondes électromagnétiques d'antigravitation (fréquence  $N$ ). Remarque: on pourrait aussi obtenir très facilement les ondes électromagnétiques de Maxwell 1 de la fig 11 connues que nous utilisons et 2 de la fig 11 inconnues. Pour faire 1 de la fig 11 on utilise le schéma
- 15 fig 16 on obtient nos ondes électromagnétiques connues fig 17 pour faire 2 de la fig 11 on utilise, le schéma de la fig 18 on obtient des ondes électromagnétiques inconnues fig 19 dans lesquelles pour une certaine fréquence on obtient les ondes de gravitation.
- 20 La propagation des ondes électromagnétiques n'a lieu que d'un seul côté du plateau et perpendiculairement. Pour cela on utilise pour le condensateur et le solénoïde, des courants variables de sorte que  $\vec{E}$  et  $\vec{B}$  soient en phase, sinusoïdaux de préférence ou bien en différence de phase;  $\vec{E}$  et  $\vec{B}$  ayant même grandeur ou
- 25 différents. Les courants pourraient avoir les allures suivantes fig 20 dans le solénoïde et le condensateur (ou allure quelconque). Avec le dispositif on peut expérimenter plusieurs cas.
- 1° L'intensité constante dans le condensateur et dans le solénoïde, le plateau support tournant de 10 à 20 tours par seconde
- 30 par exemple en moyenne (les longueurs de  $\vec{B}$  et  $\vec{E}$  peuvent imposer la fréquence). La vitesse de rotation peut être très grande.
- 2° L'intensité dans le condensateur constante et l'intensité dans le solénoïde variable fréquence  $N$ . Plateau support tournant.
- 3° L'intensité dans le condensateur variable fréquence  $N$  et  $\vec{B}$  constant (I du solénoïde constant) plateau support tournant.
- 4° Cas général le plus important. L'intensité dans le solénoïde et dans le condensateur, variables, plusieurs possibilités suivant la nature du courant, le plateau support tournant

1 Remarque: Tant qu'aux fréquences a adopter pour  $\vec{E}$  et  $\vec{B}$  elles peuvent être variables grandes ou petites. Si les fréquences sont très grandes on obtient un faisceau d'antigravitation 3 et 4 de la fig 11 ou dans les ondes ordinaires 1 fig 11 un faisceau électromagnétique commun et pour 2 fig 11 des ondes électromagnétiques de gravitation à une certaine fréquence  $H$ . Pour les fréquences moyennes ou basses on verra les propriétés. Dans les exemples précédents on a représenté un solénoïde et un condensateur pour mieux comprendre. En réalité il y a tout le tour du disque des solénoïdes et des condensateurs groupés fig 21 ou en plus, plusieurs solénoïdes et des condensateurs par rayon fig 22. On peut augmenter le vecteur induction en mettant un petit noyau de fer doux. De même on peut augmenter  $E$  en mettant un isolant entre les plaques des condensateurs. Ces solénoïdes peuvent être montés en série ou en parallèle de même pour les condensateurs. Remarque: La propagation des ondes antigravitationnelles et gravitationnelles donne la direction de l'orientation de la force propulsive d'un engin volant. Nous avons vu que les ondes d'antigravitation et de gravitation se propageaient d'un côté du plateau et perpendiculairement fig 23 en donnant  $\vec{F}$ . Pour obtenir la force  $\vec{F}'$  égale de l'autre côté on refait le même mécanisme de l'autre côté du plan et lorsqu'on fait fonctionner  $\vec{F}$  on supprime instantanément  $\vec{F}$ : l'engin part dans la direction  $\vec{F}'$ . Avec deux mécanismes pouvant être mobiles on peut créer les forces  $\vec{F}$  et  $\vec{F}'$  dans n'importe quelle direction de l'espace par rapport au centre de l'appareil (Marche aussi avec un seul mécanisme). Remarque sur la fig 11 en 1 on obtient les propriétés de nos ondes électromagnétiques, en 2 on peut obtenir pour une certaine fréquence les ondes de gravitation et pour d'autres fréquences des propriétés nouvelles inconnues. En 3 et 4 de la fig 11 on peut obtenir les ondes d'antigravitation avec l'onde 3 et 4 et pour qu'il y ait analogie avec les ondes 1 et 2 peut-être seule 4 donne l'antigravitation mais essayer 3 et 4. Puis à des fréquences variables apparaissent des propriétés nouvelles inconnues ondes de désintégration par exemple pour 3 et 4 de la fig 11 pour les fréquences élevées.

Remarque: On peut employer le mot bobine au lieu de solénoïde.

## REVENDICATION

- 1 Réalisation pratique de la gravitation et de l'antigravitation et autres propriétés suivant la fréquence.

On représente un disque tournant sur lequel on trouve des bobines dont les axes sont parallèles au disque et orientés à 45° sur la direction des rayons et à l'intérieur des plateaux des condensateurs plats parallèles à la direction de l'axe des bobines et perpendiculaires au disque tournant.

- 5 Les courants électriques sont convenablement étudiés et suivant leurs caractéristiques on obtient des champs électriques  $\vec{E}$  et des vecteurs induction  $\vec{B}$  qui s'accrochent par les points où la force centrifuge est la plus forte. On obtient quatre possibilités d'ondes électromagnétiques suivant le sens des courants.
- 10

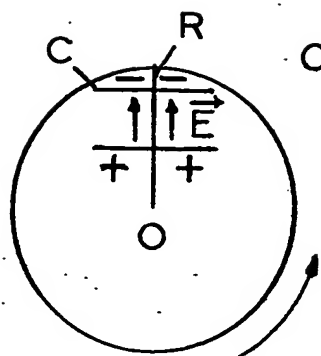


fig 1

CHARGE



fig 2

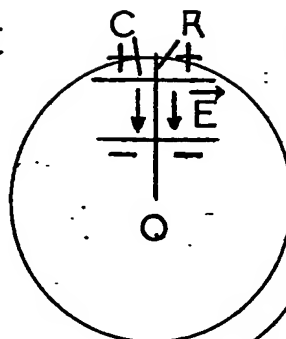


fig 3

CHARGE

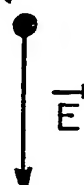


fig 4

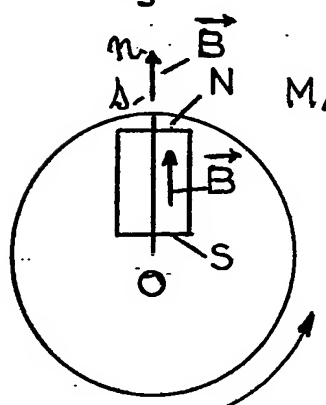


fig 5

MASSES  
MAGNETIQUES



fig 6

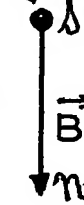


fig 7

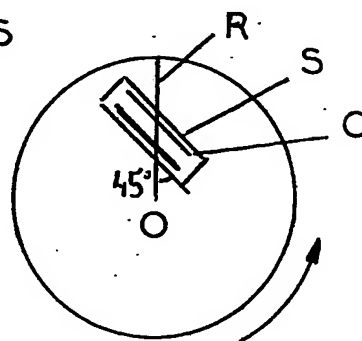


fig 8

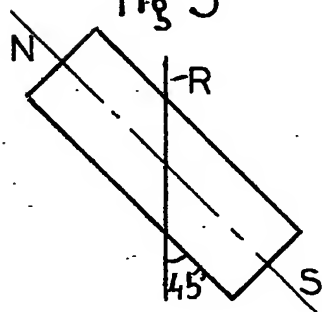


fig 9

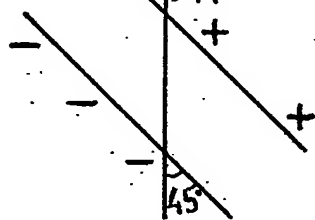
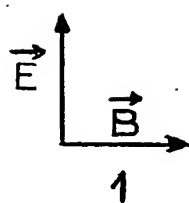
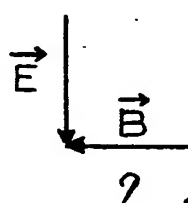


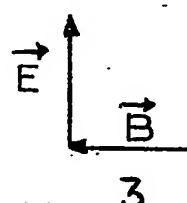
fig 10



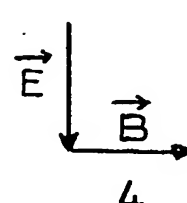
1



2



3



4

fig 11

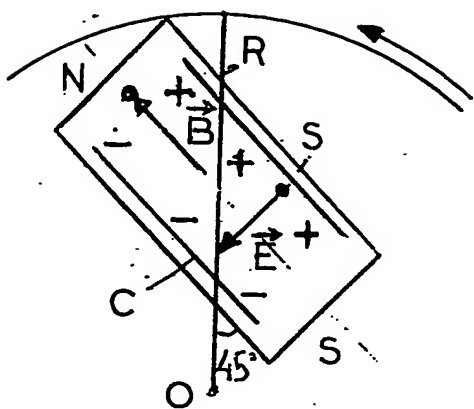


fig 12

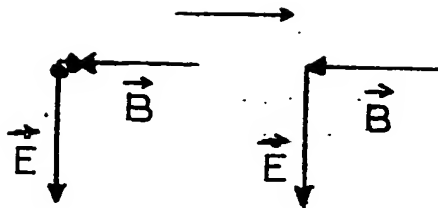


fig 13

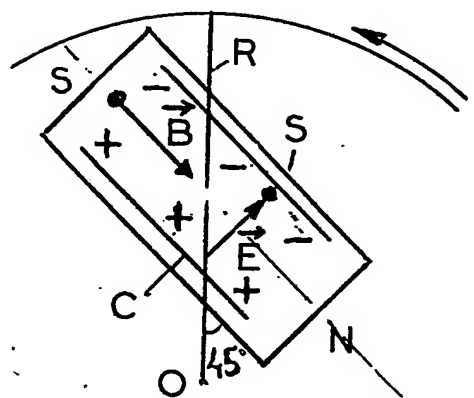


fig 14

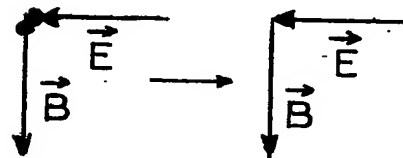


fig 15

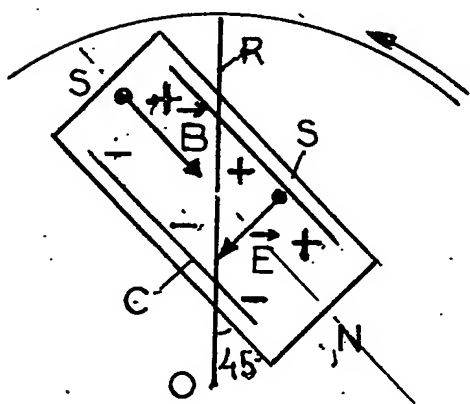


fig 16

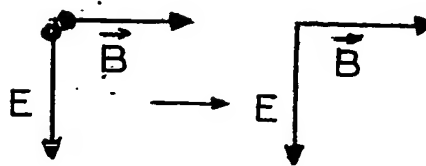


fig 17

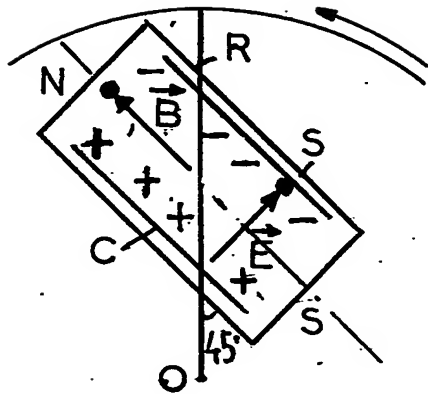


fig 18

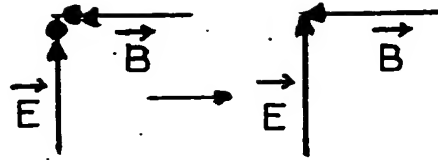


fig 19

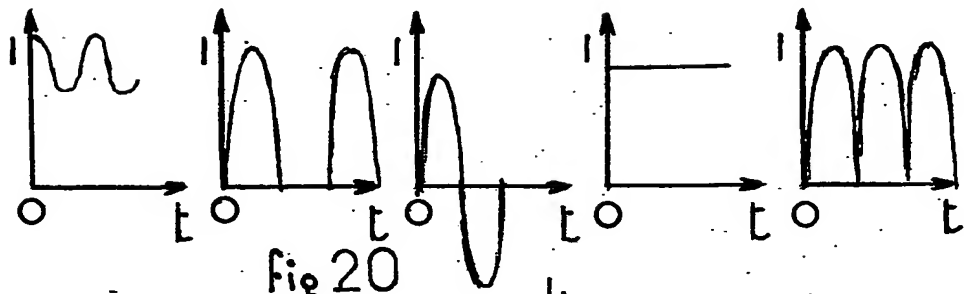


fig 20

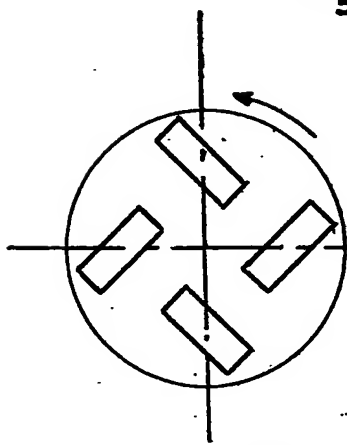


fig 21

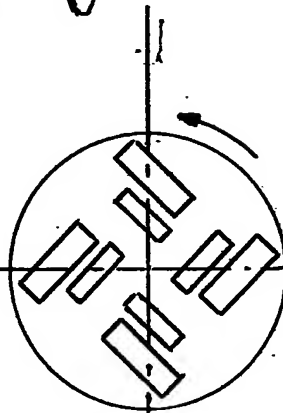


fig 22

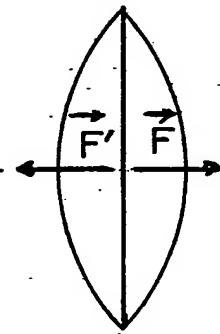


fig 23

DERWENT-ACC-NO: 1980-E4197C

DERWENT-WEEK: 198020

COPYRIGHT 1999 DERWENT INFORMATION LTD

TITLE: Determining direction of propulsive  
force in aircraft -  
anti-gravitational by propagation of gravitation and  
waves

INVENTOR: PERIAT, G

PATENT-ASSIGNEE: PERIAT G[PERII]

PRIORITY-DATA: 1978FR-0023654 (August 4, 1978)

PATENT-FAMILY:

PUB-NO	PAGES	PUB-DATE	
LANGUAGE		MAIN-IPC	
FR 2432716 A		April 4, 1980	N/A
000	N/A		

INT-CL (IPC): G01R033/02

ABSTRACTED-PUB-NO: FR 2432716A

BASIC-ABSTRACT:

Gravitation and antigravitation properties depending on frequency are obtained from electromagnetic waves obtained from electric fields and induction vectors. These are obtained from electric currents in parallel plate capacitors with inductors on rotating discs. The plates of a capacitor are placed perpendicularly on a rotating disc and at an angle to its radius (R). An electric field (E) appears between the plates which are changed to +q and -q.

As the disc rotates to drive the capacitor the electric charge is positioned at

the end of the field vector. The field is increased by putting isolating material between the plates. By mounting coil assemblies and the capacitors on a disc the propagation of antigravitational and gravitational waves can be used to determine directional orientation of the propulsion force from a flying vehicle.

TITLE-TERMS: DETERMINE DIRECTION PROPEL FORCE AIRCRAFT  
PROPAGATE GRAVITATION  
ANTI GRAVITATION WAVE

DERWENT-CLASS: S01 W06

EPI-CODES: S01-E01; W06-B01B;